

**УРАЛЬСКИЙ ОРДЕНА ТРУДОВОГО КРАСНОГО ЗНАМЕНИ
ПОЛИТЕХНИЧЕСКИЙ ИНСТИТУТ им. С. М. КИРОВА**

На правах рукописи

**Для служебного пользования
Экз. №**

КИДИБАЕВ МУСТАФА МУСАЕВИЧ

УДК 535.34+535.37+539.122.074

**РАДИАЦИОННО-ОПТИЧЕСКИЕ
И СЦИНТИЛЛЯЦИОННЫЕ СВОЙСТВА
АКТИВИРОВАННЫХ КРИСТАЛЛОВ ФТОРИДОВ
ЛИТИЯ И НАТРИЯ**

Специальность 01. 04. 07 — физика твердого тела

**Автореферат
диссертации на соискание ученой степени
кандидата физико-математических наук**

Свердловск 1986

Работа выполнена в Институте физики Академии наук Киргизской ССР
Научный руководитель — доктор физико-математических наук
А. А. Алыбаков.

Официальные оппоненты:

доктор физико-математических наук **Ф. Ф. Гаврилов**

кандидат физико-математических наук **М. Я. Ходос**

Ведущая организация — Институт кристаллографии им. А. В. Шубникова АН СССР

Защита состоится « » 198 г. в 14³⁰ ч
на заседании специализированного совета К 063.14.11 по присуждению
ученых степеней при физико-техническом факультете Уральского ордена
Трудового Красного Знамени политехнического института им. С. М. Ки-
рова.

С диссертацией можно ознакомиться в библиотеке института
Адрес: 620002, г. Свердловск, К-2, УПИ им. С. М. Кирова, пятый
учебный корпус, аудитория Ф — 419

Автореферат разослан: « »

198 г.

*Ученый секретарь
специализированного совета К 063.14.11.
кандидат физико-математических наук*

А. К. Штольц

ОБЩАЯ ХАРАКТЕРИСТИКА РАБОТЫ

Актуальность темы. Технический прогресс невозможен без создания новых материалов, обладающих уникальными оптическими, электрическими, механическими, магнитными и другими свойствами. Большинство твердых материалов, используемых в различных областях техники, обладает кристаллической структурой. Среди кристаллических тел различают монокристаллы и поликристаллы. Новые, бурно развивающиеся отрасли науки и техники, такие как квантовая электроника, голограммия, нелинейная оптика, пьезотехника и другие, связаны с использованием монокристаллов.

Среди большого разнообразия кристаллов особое место занимают щелочногалоидные кристаллы, имеющие простую кристаллическую структуру и природу химической связи, что делает их удобными (модельными) объектами исследования. Однако интерес к исследованию свойств щелочногалоидных кристаллов вызван не только простотой их структуры, но и тем, что они находят широкое практическое применение. Их используют для изготовления призм и линз в инфракрасной спектроскопии, сцинтилляционных счетчиков, дозиметров ионизирующих излучений, ячеек памяти в быстродействующих вычислительных машинах, записи голограммического изображения, создания активных сред для перестраиваемых по частоте лазеров.

В большинстве случаев использование щелочногалоидных кристаллов связано с наличием в них точечных дефектов, обусловленных примесями или возникающими при облучении ионизирующими излучением.

Преднамеренное введение радиационных дефектов и примесей с учетом знания структурных особенностей и физических свойств кристаллов позволяет получать материалы с заранее заданными свойствами.

В связи с этим исследование фундаментально-прикладных свойств кристаллов и поиск новых эффективных оптических материалов многоцелевого назначения, пригодных для использования в качестве термолюминесцентных дозиметров и сцинтилляторов для регистрации ядерных излучений, представляется весьма актуальным.

Цель работы. Систематическое исследование спектров оптического поглощения и люминесценции активированных кристаллов фторидов лития (LiF:U,Na , LiF:U,Ti , LiF:U,Cu , LiF:U,OH) и натрия (NaF:U,Li , NaF:U,Ti , NaF:U,Cu), их изменения под действием рентгеновского излучения. С целью выявления изменения валентности активаторов в облученных примесных кристаллах наряду с оптическими измерениями проводилось исследование спектров ЭИР. В плане поиска и создания новых эффективных оптических материалов для регистрации

ядерных излучений было изучено влияние примесей на образование и термическую устойчивость электронных центров окраски, термостимулированную люминесценцию и сцинтилляционные свойства кристаллов.

Научная новизна. I. Впервые проведено систематическое исследование спектров оптического поглощения, люминесценции, ЭМР, термостимулированной люминесценции и сцинтилляционных свойств необлученных и облученных кристаллов фторидов лития и натрия, активированных одновременно двумя примесями, в сравнении с образцами $\text{MgF}_2\text{:U}$.

2. Показано, что появление новых полос в спектрах оптического поглощения облученных примесных кристаллов связано с изменением зарядового состояния урана. Зависимость концентрации различных paramagnитных центров в облученных примесных кристаллах фторидов лития и натрия, связанных с ионами U^{5+} , от дозы облучения носит экстремальный характер, достигая максимума при дозе около $9 \cdot 10^3$ Гр. При длительном облучении ионы U^{5+} переходят в U^{4+} и U^{3+} путем последовательного захвата еще одного или двух электронов ($\text{U}^{5+} + e^- \rightarrow \text{U}^{4+}$, $\text{U}^{4+} + e^- \rightarrow \text{U}^{3+}$).

3. Впервые наблюдалось аномальное изменение спектров активаторного поглощения при нагревании облученных примесных кристаллов фторидов лития и натрия, которое обусловлено изменением зарядового состояния урана в результате захвата электронов, высвобождающихся из электронных центров окраски при их термическом разрушении.

4. Изучено влияние примесей на сцинтилляционные свойства активированных ураном кристаллов фторидов лития и натрия, что позволило предложить два новых неорганических сцинтиллятора для регистрации ядерных излучений.

5. В результате изучения термостимулированной люминесценции облученных кристаллов, легированных двойными примесями, установлена способность кристаллов LiF:U,Na и LiF:U,Cu к эффективному запасанию светосуммы, что может быть использовано для дозиметрии ионизирующих излучений.

6. Изучено влияние соактиваторов на образование и термическую стабильность радиационных дефектов в кристаллах $\text{MgF}_2\text{:U}$, установлены закономерности этих процессов.

Практическая ценность. I. Предложены два новых эффективных рабочих вещества для термolumинесцентной дозиметрии ионизирующих излучений - кристаллы LiF:U,Na (защищено авторским свидетельством) и LiF:U,Cu (подана заявка на изобретение), которые успешно прошли испытания и признаны годными для целей клинической дозиметрии.

метрии (имеется акт внедрения).

2. Предложены два типа новых неорганических сцинтилляторов для регистрации ядерных излучений:

- сцинтиллятор (импульсный, счетный) на основе кристаллов LiF:U (защищено авторским свидетельством),
- токовый сцинтиллятор на основе NaF:U,Cu (подана заявка на изобретение).

Автор защищает: I. Результаты экспериментального исследования спектров оптического поглощения и люминесценции кристаллов фторидов лития и натрия, легированных одновременно двумя примесями, и их изменения под действием рентгеновского облучения. Наблюдение и интерпретацию новых дополнительных полос в спектрах оптического поглощения облученных примесных кристаллов, связанных с различным зарядовым состоянием ионов урана, и закономерности их изменения в зависимости от дозы облучения.

2. Обнаружение аномального изменения спектров поглощения ионов урана при нагревании облученных примесных кристаллов и предложенные механизмы электронных процессов, приводящих к этим аномальным эффектам.

3. Установленные закономерности влияния двойных примесей на образование и устойчивость электронных центров окраски в кристаллах фторидов лития и натрия.

4. Предложенные эффективные рабочие вещества (кристаллы LiF:U,Na и LiF:U,Cu) для термolumинесцентной клинической дозиметрии ионизирующих излучений.

5. Предложенные эффективные неорганические сцинтилляторы для регистрации ядерных излучений (кристаллы LiF:U и NaF:U,Cu).

Апробация работы. Материалы диссертационной работы опубликованы в 7 статьях, докладывались на IV Всесоюзном симпозиуме "Люминесцентные приемники и преобразователи рентгеновского излучения" (Иркутск, 1982), V Всесоюзном совещании по радиационной физике и химии ионных кристаллов (Рига, 1983), Всесоюзной конференции по радиационной физике полупроводников и родственных материалов (Ташкент, 1984), Междуреспубликанской конференции молодых ученых, посвященной 60-летию Киргизской ССР (Фрунзе, 1984), VII Феофиловском симпозиуме по спектроскопии кристаллов, активированных ионами редкоземельных и переходных металлов (Свердловск, 1985), VII Междуреспубликанской научной конференции молодых ученых (Фрунзе, 1986), I республиканской конференции по физике твердого тела (Ош, 1986), IX Всесоюзной конференции "Состояние и перспек-

тивы разработки и применения сцинтилляторов и сцинтилляционных детекторов в ХЛ пятилетке" (Харьков, 1986), VI Всесоюзной конференции по радиационной физике и химии ионных кристаллов (Юрмала, 1986).

По результатам работы получено 2 авторских свидетельства, подано 2 заявки на предполагаемые изобретения.

Структура и объем работы. Диссертация состоит из введения, пяти глав и выводов, содержит 142 страницы машинописного текста, в том числе 8 таблиц, 54 рисунка и библиографию из 170 наименований.

КРАТКОЕ СОДЕРЖАНИЕ ДИССЕРТАЦИИ

Во введении обосновывается актуальность темы и выбор объектов исследования, сформулирована цель диссертационной работы и основные положения, выносимые на защиту, отмечены научная новизна и практическая ценность полученных результатов.

В первой главе приведен краткий обзор литературных данных по влиянию примесей и облучения на спектры оптического поглощения и люминесценции активированных ураном кристаллов фторидов лития и натрия. В ней анализируется современное состояние исследований центров окраски в них, термolumинесценции и термolumинесцентной дозиметрии. Отмечается совершенно недостаточная исследованность сцинтилляционных свойств активированных ураном кристаллов фторидов лития и натрия.

С учетом анализа литературных данных и цели работы сформулированы следующие конкретные задачи исследования:

1. Исследовать влияние примесей лития, натрия, титана и меди на спектры поглощения и люминесценции активированных ураном кристаллов фторидов лития и натрия.

2. Исследовать изменение спектров поглощения и люминесценции ионов U^{6+} в кристаллах LiF и NaF с двойными примесями под действием ионизирующих излучений в зависимости от длительности облучения, а также изменение спектров облученных кристаллов при нагревании.

3. Изучить зависимость интенсивности спектра ЭПР ионов U^{5+} в облученных активированных кристаллах от длительности радиационного воздействия.

4. Изучить влияние двойных примесей на образование и термическую устойчивость электронных центров окраски в кристаллах фторидов лития и натрия.

5. Исследовать термовысвечивание и спектральный состав рекомбинационной люминесценции облученных активированных кристаллов LiF и NaF, выяснить дозиметрические возможности примесных кристаллов фтористого лития, имея в виду создание термолюминесцентного дозиметра для клинической практики.

6. Исследовать сцинтилляционные свойства активированных кристаллов фторидов лития и натрия как в токовом, так и в импульсном режиме.

Во второй главе описана методика выращивания исследованных кристаллов, проведения эксперимента и обработки экспериментальных данных. Исследуемые кристаллы выращивались из реактива марки "ос. ч." методом Киропулоса в платиновых тиглях. Были выращены кристаллы фторидов лития и натрия с примесью азотнокислого урана в количестве от 0,0005 до 0,1 мол.-% в расплаве и кристаллы LiF и NaF с постоянной концентрацией азотнокислого урана и соактиватора. Примеси лития (0,01 мол.-%) и натрия (0,2 мол.-%) добавлялись в шихту в виде соответствующих фторидов, примесь меди (0,01 мол.-%) – в виде $\text{CuF}_2 \cdot 2\text{H}_2\text{O}$, примесь титана (0,01 мол.-%) – в виде TiO_2 , примесь OH^- (0,5 и 1 мол.-%) – в виде гидроокиси лития.

Все кристаллы перед исследованием отжигались при температуре 700°C в течение 1 часа и охлаждались до комнатной температуры вместе с печью. При исследовании влияния радиационных воздействий образцы облучались в основном рентгеновыми лучами на аппарате УРС-70 с трубкой ИЕПБИ-60 с вольфрамовым анодом при напряжении 55 кВ и силе тока 10 мА. Мощности дозы – $3 \cdot 10^3$ Гр/ч.

Спектры поглощения кристаллов в видимой и ультрафиолетовой области измерялись на регистрирующем спектрометре ЗР8-100 (Rue Unicam, Англия) с использованием азотного криостата. Спектры люминесценции образцов исследовались на установке, собранной на базе универсального спектрального комплекса НСВУ-2. Измерения рентгенoluminesценции и некоторые измерения термолюминесценции, а также исследование сцинтилляционных свойств активированных кристаллов проводились на установках кафедры экспериментальной физики Уральского политехнического института. При исследовании дозиметрических свойств активированных кристаллов LiF наряду с рентгеновским облучением использовалось облучение гамма-лучами от источника ^{60}Co и электронами с энергией до 27 MeV (бетатрон медицинский ББМ-25, линейный ускоритель ЛЭУ-25). Спектры ЭПР кристаллов исследовались на радиоспектрометрах Варикам Е-112

(Институт кристаллографии АН СССР) и РЭ-1307 при температуре жидкого азота.

Для разложения перекрывающихся пиков термolumинесценции на индивидуальные составляющие была использована программа на языке ФОРПАН ИУ для ЭВМ ЕС-1022, составленная сотрудниками нашей лаборатории с использованием метода притупленных наименьших квадратов.

В третьей главе приведены результаты исследования влияния примесей и облучения на спектры оптического поглощения и люминесценции шестивалентных ионов урана U^{6+} в кристаллах фторидов лития и натрия.

Исследование спектров поглощения кристаллов $LiF:U, Ne$ и $NaF:U, Me$ показало, что положения узких линий, обусловленных ионами U^{6+} , у этих кристаллов не изменяются при введении изученных вторых примесей, но линии отличаются по интенсивности. Добавление примеси натрия приводит к ослаблению характерных полос поглощения иона U^{6+} в кристаллах LiF , а при добавлении примесей меди и титана обусловленные ураном полосы поглощения усиливаются. Добавление примесей лития, титана и меди усиливает поглощение ионов U^{6+} в кристаллах NaF ; причем этот эффект особенно заметен на линиях 517, 533, 535, 537 и 552 кристалла $NaF:U, Cu$. Изменение спектров люминесценции активированных кристаллов при добавлении вторых примесей аналогично изменению спектров поглощения. Результаты, полученные при исследовании влияния соактиваторов на спектры поглощения активированных ураном кристаллов фторидов лития натрия, позволяют заключить, что все исследованные катионные примеси, кроме примеси натрия в LiF , способствуют входению в кристаллическую решетку основного активатора – урана.

Рентгеновское облучение приводит к существенному ослаблению полос поглощения, обусловленных ионами U^{6+} , и одновременному появлению нескольких новых слабых полос поглощения, расположенных у LiF при 524, 552 и 563 нм, у NaF при 554 и 581 нм. Интенсивности возникающих при облучении новых полос поглощения имеют разные зависимости от дозы (рис. I) – полосы поглощения при 563 нм у LiF и при 581 нм у NaF достигают максимальной интенсивности после ~ 1 часа облучения, а затем ослабляются; полосы при 524 нм у LiF и 554 нм у NaF постепенно усиливаются с увеличением продолжительности облучения. У кристаллов $LiF:U, Me$ при длительном облучении (более 3 ч для $LiF:U, Na$, более 8 ч для

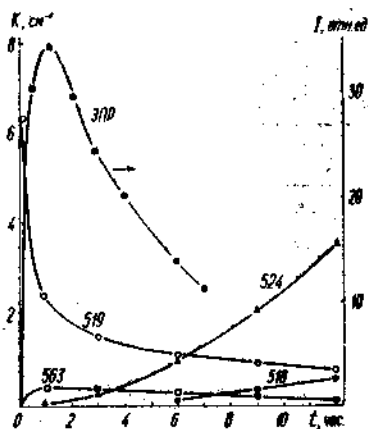


Рис. 1. Изменение интенсивности полос в спектре активаторного поглощения и сигналов ЭПР кристалла LiF:U,Tl в зависимости от длительности рентгеновского облучения. Положения полос поглощения указаны в нм.

LiF:U,Cu) в спектре появляется еще одна новая полоса поглощения при 518 нм, усиливающаяся при дальнейшем облучении. Обусловленная ураном люминесценция кристаллов LiF:U,Me и NaF:U,Me в результате облучения постепенно ослабляется и при длительном облучении исчезает, при этом одновременно возникает свечение в более длинноволновой области, обусловленное центрами окраски.

В спектрах ЭПР облученных кристаллов наблюдаются сигналы, обусловленные ионами U^{5+} . В кристаллах LiF:U,Me образуется один тип центров, связанных с ионами U^{5+} . Спектр имеет аксиальную симметрию, что указывает на тетрагональную симметрию обуславливающего данный спектр центра (T_{g_1}). В спектрах кристаллов NaF:U,Me проявляются два типа центров с такой симметрией (T_{g_1} и T_{g_3}) и два типа центров моноклинной симметрии (M_1 и M_2). Для описания спектров с моноклинной симметрией использован спин-гамма-тоникан

$$\hat{H} = \beta g_x H_x S_x + \beta g_y H_y S_y + \beta g_z H_z \hat{S}_z, \quad (1)$$

для спектров с аксиальной симметрией – спин-гамма-тоникан

$$\hat{H} = \beta [g_{\perp}(H_x \hat{S}_x + H_y S_y) + g_{\parallel} H_z \hat{S}_z]. \quad (2)$$

Главные значения g -фактора для центров, связанных с ионами U^{5+} , приведены в таблице I. Поскольку нам не удалось исследовать угло-

вые зависимости положения линий в спектрах ЭПР полностью, определены не все главные g -величины.

Таблица I

Главные значения g -фактора для paramагнитных центров, связанных с ионами U^{5+} в облученных кристаллах ($T = 77$ К)

Кристалл	Центр	Главные значения g -фактора	
		g_1	g_{II}
Центры тетрагональной симметрии			
LiF:U, Me	Tg ₁	0,472	-
NaF:U, Me	Tg ₁	0,590	0,393
NaF:U, Me	Tg ₃	0,679	-
Центры моноклинной симметрии			
		g_x	g_y
		g_z	
NaF:U, Me	M ₁	0,703	0,562
	M ₂	0,762	0,655

Исследование зависимости интенсивности сигналов ЭПР от дозы облучения показало, что для всех спектров характерна общая закономерность (см. рис. I) - они усиливаются в начале облучения, достигая максимальной величины при дозе около $9 \cdot 10^3$ Гр (примерно 1 час облучения), а затем ослабляются с различной скоростью. Сходство дозовых зависимостей интенсивности новых полос поглощения, расположенных при 563 нм у LiF:U,Me и при 581 нм у NaF:U,Me, и сигналов ЭПР, обусловленных ионами U^{5+} , позволяет приписать эти полосы поглощения ионам U^{5+} . Ослабление сигналов ЭПР от созданных облучением paramагнитных центров и уменьшение интенсивности полос поглощения, приписанных ионами U^{5+} , при длительности облучения более 1 часа обусловлено, по-видимому, дальнейшим изменением зарядового состояния примесных ионов урана в результате захвата еще одного или двух электронов ($U^{5+} + e^- \rightarrow U^{4+}$, $U^{4+} + e^- \rightarrow U^{3+}$). Подтверждением могло бы быть наблюдение сигналов ЭПР от ионов U^{4+} и U^{3+} , однако, как и в других матрицах (CaF_2 , BaF_2), наблюдать сигнал ЭПР от этих ионов при температуре жидкого азота не удается.

При исследовании термоустойчивости радиационных дефектов впервые обнаружено аномальное изменение спектров поглощений ионов урана в облученных кристаллах. В качестве примера на рис. 2 представлены данные, полученные на кристалле LiF:U,Cu.

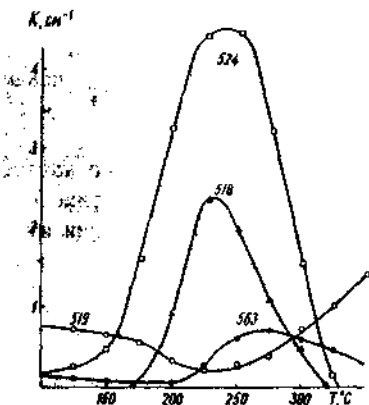


Рис. 2. Изменение интенсивности полос поглощения кристалла LiF:U,Cu , облученного в течение 3 ч, в зависимости от температуры отжига. Положения полос поглощения указаны в нм.

Анализ результатов, полученных при исследовании изменения спектров оптического поглощения кристаллов LiF:U,Me и NaF:U,Me в результате радиационного воздействия и при изучении термоустойчивости радиационных дефектов, позволил произвести идентификацию новых полос поглощения. Ослабление полосы поглощения ионов U^{5+} (563 нм у LiF:U,Me , 581 нм у NaF:U,Me) в начале нагревания свидетельствует об уменьшении концентрации этих центров. Это возможно в том случае, если происходит превращение $\text{U}^{5+} \rightleftharpoons \text{U}^{6+}$ или $\text{U}^{5+} \rightleftharpoons \text{U}^{4+}$. Полосы поглощения ионов U^{6+} (на рис. 2 в качестве примера показано изменение полосы при 519 нм) в начале нагревания не только не усиливаются, но даже несколько ослабляются, что позволяет исключить возможность перехода $\text{U}^{5+} \rightleftharpoons \text{U}^{6+}$. Остается заключить, что при нагревании происходит превращение $\text{U}^{5+} \rightarrow \text{U}^{4+}$ в результате замвата электронов, высвобождающихся при термическом разрушении электронных центров окраски. Ионами U^{4+} обусловлены, очевидно, полосы поглощения при 524 нм у LiF:U,Me и при 554 нм у NaF:U,Me , усиливающиеся как при длительном облучении, так и в начале нагревания облученных кристаллов. Позже всех других новых полос поглощения при облучении кристаллов LiF:U,Me появляется полоса поглощения при 518 нм. При нагревании она появляется и у кристаллов, облученных меньшей дозой (см. рис. 2). Вместе с тем при дальнейшем нагревании она исчезает раньше остальных новых полос. Такие осо-

бенности позволяют отнести эту полосу к ионам U^{3+} . Ослабление полос поглощения U^{6+} в начале нагревания свидетельствует о том, что электроны разрушенных центров окраски захватываются и ионами U^{6+} , однако при температурах до 200°C превращение $U^{6+} \rightarrow U^{5+}$ менее эффективно, чем превращение $U^{5+} \rightarrow U^{4+}$.

При температурах выше $220\text{--}230^{\circ}\text{C}$ все новые полосы поглощения ослабляются, по-видимому, в результате термоионизации примесных ионов с пониженным зарядовым состоянием. Энергии активации этих процессов, определенные по температурам, соответствующим максимальным скоростям ослабления новых полос поглощения, оказались равными 0,046, 0,048 и 0,052 эВ для ионов U^{3+} , U^{4+} и U^{5+} соответственно.

В четвертой главе приведены результаты исследования электронных центров окраски в кристаллах LiF:U,Me и NaF:U,Me . Полосы поглощения F^- , F_2^- и F_2^+ -центров в кристаллах NaF:U,Me при 90 К расположены при 333, 499 и 734 нм соответственно; в кристаллах NaF:U,Ti образуются также $(F_2^+)_{\text{A}}$ -центры с полосой поглощения при 685 нм. Установлено, что добавление в кристаллы NaF:U в качестве соактиваторов примесей лития и титана приводит к повышению эффективности образования F^- и F^- -агgregатных центров окраски.

В кристаллах LiF:U,Me при 90 К F^- , F_2^- и F_2^+ -центры окраски дают полосы поглощения при 250, 440 и 643 нм соответственно. В ближней инфракрасной области спектра при комнатной температуре наблюдается широкая полоса поглощения F_3^- (R_2^-)-центров окраски, которая при 90 К имеет рибонную структуру со средним разделением между полосами 250 см^{-1} , с бесфоновой линией при 634 нм. Возможность образования электронных центров окраски в кристаллах LiF:U несколько уменьшается при добавлении в качестве соактиватора натрия и повышается при добавлении примесей титана и меди.

Повышение эффективности образования F^- и F^- -агgregатных центров при добавлении соактиваторов связано, вероятно, с образованием в кристаллах дырочных центров в результате локализации дырок на ионах соактиватора, что приводит к уменьшению вероятности рекомбинации дырок с электронами, локализованными на центрах окраски.

При нагревании центры окраски разрушаются, причем полоса поглощения F_2^+ -центров исчезает уже после нагревания до 150°C . Все исследованные примеси повышают термическую устойчивость центров окраски в кристаллах MeF:U . Наибольшей термической устойчивостью отличаются центры окраски в кристаллах LiF:U,Os .

При нагревании облученных кристаллов наряду с ослаблением полос поглощения центров окраски и описанными в третьей главе изменениями активаторного поглощения появляются новые широкие полосы. У кристаллов LiF:U,Ne максимумы их расположены около 508, 513 и 543 нм. Полоса при 543 нм очень широкая, после нагревания образца до 200°C она разлагается на две полосы (541 и 543 нм), а после нагревания до 225°C – на три полосы (530, 535 и 540 нм). При дальнейшем нагревании эти полосы поглощения постепенно ослабляются. Коротковолновые полосы изменяются иначе – после нагревания до 200°C сливаются в одну полосу с максимумом при 511 нм, а при дальнейшем повышении температуры (до 300°C) эта полоса усиливается и смещается в коротковолновую сторону. Подобные широкие полосы поглощения появляются и при нагревании облученных кристаллов NaF:U,Ne, но только после длительного облучения. Наиболее интенсивная полоса у этих кристаллов расположена около 578 нм. Эти широкие полосы поглощения приписаны коллоидным частицам щелочного металла, а изменение их положения при повышении температуры связано с изменением размеров коллоидных частиц. Такое заключение подтверждается наблюдением у облученных кристаллов характерного для коллоидных частиц узкого сигнала ЭПР на фоне широкого спектра F-центров после кратковременного отжига при температурах, соответствующих появлению вышеуказанных полос в спектрах поглощения.

В пятой главе приведены результаты исследования дозиметрических и сцинтилляционных свойств активированных кристаллов фторидов лития и натрия. Исследование термовысвечивания облученных кристаллов показало, что изученные примеси (кроме титана) не вызывают появления новых термопиков, т.е. не создают новых уровней захвата, но положения и интенсивности термопиков при добавлении примесей несколько изменяются. При добавлении в качестве соактиватора примеси титана появляется новый термопик, расположенный у NaF при 150°C , у LiF при 168°C , что указывает на образование в обоих кристаллах дополнительного уровня захвата носителей заряда (электронов или дырок). Спектральный состав термолюминесцентного свечения во всех термопиках одинаков и такой же, как и для фотолюминесценции.

Для определения параметров термопиков (энергии термической ионизации В и частотного фактора ρ_0) необходимо знать, является ли процесс мономолекулярным или бимолекулярным. Исследование изотермического затухания свечения при температурах, соответствующих максимумам термопиков, показало, что эти процессы являются

мономолекулярными (наблюдались линейные зависимости $\ln I = f(t)$) Энергия активации определялась по формуле

$$E = 2,52kT_m^2/(T_2 - T_1) - 2kT_m, \quad (3)$$

где T_m – положение максимума термопика, T_1 и T_2 – температуры его первой и второй половиной интенсивности. Для определения частотного фактора использовалась формула

$$\rho_o = \frac{\beta \cdot E}{kT_m^2} e^{E/kT_m}, \quad (4)$$

где β – скорость нагревания образца во время исследования термoluminesценции. В расчетах использовались температурные характеристики термопиков, определенные после разложения кривой термосвечивания на индивидуальные составляющие. Значения E и ρ_o для основных, наиболее интенсивных термопиков исследованных кристаллов приведены в таблице 2.

Таблица 2
Энергии активации и частотные факторы для основных термопиков облученных кристаллов NaF:U,Me и LiF:U,Me

Кристалл	67°C		150°C		251°C	
	E, эВ	ρ_o , с ⁻¹	E, эВ	ρ_o , с ⁻¹	E, эВ	ρ_o , с ⁻¹
NaF:U	0,94	$1,27 \cdot 10^{12}$	–	–	1,38	$1,05 \cdot 10^{11}$
NaF:U,Li	0,95	$1,28 \cdot 10^{12}$	–	–	1,34	$1,02 \cdot 10^{11}$
NaF:U,Cu	–	–	–	–	1,27	$1,30 \cdot 10^{11}$
NaF:U,Ti	0,90	$4,47 \cdot 10^{11}$	1,29	$2,26 \cdot 10^{13}$	1,42	$2,95 \cdot 10^{11}$
<hr/>						
110°C		168°C		280°C		
	E, эВ	ρ_o , с ⁻¹	E, эВ	ρ_o , с ⁻¹	E, эВ	ρ_o , с ⁻¹
LiF:U	1,26	$5,42 \cdot 10^{14}$	–	–	1,47	$2,76 \cdot 10^{11}$
LiF:U,Na	1,16	$2,48 \cdot 10^{13}$	–	–	1,39	$3,50 \cdot 10^{10}$
LiF:U,Cu	1,07	$1,14 \cdot 10^{12}$	–	–	1,20	$4,45 \cdot 10^9$
LiF:U,Ti	1,12	$8,73 \cdot 10^{12}$	1,42	$1,63 \cdot 10^{14}$	1,56	$2,16 \cdot 10^{12}$

Кристаллы фтористого лития, благодаря легким кристаллообразующим элементам, являются тканеэквивалентным материалом в отношении поглощения ионизирующих излучений (для LiF $Z_{\text{эфф.}} = 8,2$, для биологической ткани $Z_{\text{эфф.}} = 7,42$), поэтому LiF широко используется для термолюминесцентной дозиметрии ионизирующих излучений.

Несмотря на множество исследований, пока еще не найден оптимальный активатор, введение которого делало бы этот кристалл удовлетворяющим всем требованиям, предъявляемым к материалам для термолюминесцентной дозиметрии. Проведенное нами исследование дозиметрических возможностей кристаллов LiF:U,Ne показало, что кристаллы LiF:U,Na и LiF:U,Cu имеют интенсивный пик термолюминесценции около 110°C, практически не перекрывающийся с другими пиками. Для кристалла

LiF:U,Na интенсивность свечения в этом термолике прямо пропорциональна поглощенной дозе в интервале 0,5-10 Гр (при меньших дозах интенсивность термолика недостаточно высока и не обеспечивает точных измерений). При замене примеси натрия примесью меди указанный интервал расширяется в сторону малых доз до 0,2 Гр. Спектр термолюминесцентного свечения находится в желто-зеленой области, что соответствует области максимальной чувствительности большинства фотоприемников. Разброс значений для 30 циклов измерений не превышает погрешности измерений (7-9 %). При всех перечисленных достоинствах кристаллы LiF:U,Na имеют один недостаток - потеря информации при длительном хранении в темноте при комнатной температуре довольно значительна (25-27 % за двое суток хранения). Этот недостаток устраняется при замене примеси натрия примесью меди. Результаты, полученные нами при исследовании дозиметрических возможностей кристаллов LiF:U,Ne, позволили нам предложить два новых дозиметрических материала для клинической дозиметрии. На кристалл LiF:U,Na получено авторское свидетельство, на LiF:U,Cu подана заявка в Госкомизобретений ССРР.

В дозиметрии наряду с термолюминесцентным методом используется и сцинтилляционный. Он основан на том, что некоторые твердые тела (цинтилляторы) дают вспышки люминесценции при поглощении ионизирующего излучения или взаимодействии с высокобенгетическими частицами. Проведенное нами исследование показало, что активированные кристаллы NeF обладают сцинтилляционными свойствами. Данные о сцинтилляционных свойствах исследованных кристаллов приведены в таблицах 3 и 4.

Исследование показало, что кристаллы LiF:U в импульсном режиме работы отличаются небольшим световым выходом при регистрации α -частиц (0,2 % относительно эталона CsI-Tl) и довольно большим световым выходом при регистрации β -частиц и электронов (40-42 % относительно эталона). Малое отношение α/β позволило рекомендовать эти кристаллы в качестве сцинтилляционного детектора β -частиц и электронов на фоне α -частиц. По заявке на этот новый

Таблица 3
Сцинтилляционные свойства активированных кристаллов LiF и NaF

Кристалл-сцинтиллятор	Импульсный режим		Гоковый режим $C_{\text{отн.}} (\%)$
	$C_{\text{отн.}} (\%)$	$B_a (\%)$	
LiF+0,01M.%U	42	4,2	0,2
LiF+0,01M.%U+0,2M.%Na	16	2,1	4,9
LiF+0,01M.%U+0,01M.%Tl	30	2,6	8,7
LiF+0,01M.%U+0,5M.%OH	26	2,5	5,7
LiF+0,01M.%U+0,01M.%Cu	38	2,8	12,2
NaF+0,01M.%U	30	2,5	59
NaF+0,01M.%U+0,1M.%Li	31	2,6	115
NaF+0,01M.%U+0,01M.%Tl	31	2,6	73,2
NaF+0,01M.%U+0,01M.%Cu	34	2,8	137
CsI-Tl (эталон)	100	100	100

Таблица 4
Сцинтилляционные свойства кристаллов LiF

Кристалл-сцинтиллятор	Световойход $C_{\text{отн.}}$		α/β
	α -частицы	электроны	
LiF + 0,0005 M.%U	0,1	5	0,02
LiF + 0,001 M.%U	0,2	40	0,005
LiF + 0,005 M.%U	0,2	42	0,005
LiF + 0,05 M.%U	0,1	20	0,005
LiF + 0,001 M.%U + 0,2 M.%Na	0,2	16	0,01
CsI-Tl (эталон)	100	100	1

ПРИМЕЧАНИЕ: $C_{\text{отн.}}$ - относительный световойход интегрально по спектру относительно CsI-Tl (при постоянной времени в цепи регистрации $T = 25 \text{ мкс}$); B_a - относительный световойход по амплитуде в тракте с временным разрешением 10 нс .
неорганический сцинтиллятор получено решение Госкомизобретений СССР о выдаче авторского свидетельства. Сцинтилляции этих кристаллов имеют три компоненты - медленную с длительностью 300 мкс, быструю с длительностью 5 мкс и особо быструю с длительностью $\sim 10 \text{ нс}$. Наличие последней компоненты обеспечивает повышенную загрузочную способность сцинтилляционного тракта. При добавлении соактиваторов световойход кристаллов LiF:U понижается.

Активированные кристаллы фтористого натрия имеют большой

световыход при работе в токовом режиме. При добавлении в кристаллы NaF:U в качестве соактиваторов примесей лития и в особенности меди он превышает световыход эталона. Кроме того, эти кристаллы имеют хорошее пространственное разрешение - 20-25 пар линий на один миллиметр толщиной кристалла. Это позволяет рекомендовать кристаллы NaF:U,Cu в качестве сцинтиляционного детектора для работы в токовом режиме в сочетании с волоконно-оптическими трактами высокого разрешения. На новый неорганический токовый сцинтиллятор NaF:U,Cu подана заявка в Госкомизобретений СССР.

ОСНОВНЫЕ РЕЗУЛЬТАТЫ И ВЫВОДЫ

1. Впервые исследовано влияние примесей щелочного металла, титана и меди на поглощение и люминесценцию активированных ураном кристаллов фторидов лития и натрия. Установлено, что примеси титана и в особенности меди способствуют переходу урана в решетку фторидов лития и натрия, а при добавлении натрия спектры урана в кристалле LiF ослабляются.

2. Исследовано изменение оптических спектров кристаллов LiF и NaF , активированных одновременно ураном и второй примесью щелочного металла, титана и меди, под действием рентгеновского облучения. Установлено, что облучение приводит к ослаблению спектров, обусловленных шестивалентным ураном, и появлению в спектрах поглощения новых слабых полос. Сопоставление с результатами исследования спектров ЭПР облученных кристаллов позволило заключить, что при облучении происходит изменение зарядового состояния ионов урана в результате захвата электронов.

3. Обнаружено аномальное изменение возникшее в результате облучения новых полос поглощения при нагревании, установлены закономерности их изменения в зависимости от температуры. Сделан вывод о продолжаемемся изменении зарядового состояния ионов урана при нагревании в результате захвата электронов, высвобождаемых термически из центров окраски, и впервые произведено отнесение наблюдаемых полос поглощения к ионам U^{5+} , U^{4+} и U^{3+} .

4. Исследованы образование и устойчивость центров окраски в кристаллах LiF:U,Mg и NaF:U,Mg . Установлено, что добавление вторых примесей повышает термическую устойчивость центров окраски.

5. Исследована термолюминесценция облученных кристаллов LiF:U,Mg и NaF:U,Mg , определены параметры уровней захвата. В результате исследований предложены два новых рабочих вещества

для термотрансценцентной дозиметрии ионизирующих излучений в клинической практике (одно из них защищено авторским свидетельством)

6. Исследована сцинтилляционная эффективность кристаллов в токовом и импульсном режимах. Установлено, что кристаллы LiF:U по своим параметрам относятся к быстродействующим сцинтилляторам. Малое отношение α/β позволяет рекомендовать их в качестве сцинтилляционных детекторов β -излучения и электронов на фоне α -излучения. Новый неорганический сцинтиллятор LiF:U признан изобретением.

Основное содержание диссертационной работы отражено в следующих работах:

1. Альбаков А.А., Денисов Г.С., Кидибаев М.М., Ишши А.Д., Сучаленков В.Н. Состав для получения дозиметрического моно-кристалла на основе фтористого лития. - Авторское свидетельство № 1075764 от 22.10.1983 г. (не подлежит опубликованию в открытой печати).
2. Alybakov A.A., Bujko V.M., Kidibaev M.M. Thermal destruction of centres due to hydrogen atoms in X-irradiated LiF:OH single crystals. - Crystal Research and Technology, 1983, v. 18, No. 11, p. K129-K131.
3. Alybakov A.A., Kidibaev M.M., Tojchisev N. EPR and optical absorption spectra of X-irradiated NaF:U,Li crystals. - Cryst. Res. and. Technol., 1984, v.19, No.11, p.K97-K99.
4. Кидибаев М.М. Влияние примеси натрия на оптические свойства кристаллофосфора LiF:U . - В сб.: Материалы VII межреспубликанской научной конференции молодых ученых, посвященной 60-летию образования Киргизской ССР и Компартии Киргизии. Фрунзе: Илим, 1985, с. 66-67.
5. Альбаков А.А., Ерухимович С.М., Кидибаев М.М., Старцев В.С., Шульгин В.В. Неорганический сцинтиллятор. - Положительное решение по заявке № 3933492/31-25 (107741) от 16 января 1986 г. (не подлежит опубликованию в открытой печати).
6. Кидибаев М.М. Изменение спектров оптического поглощения кристаллов LiF:U,Na под действием рентгеновского облучения. - Изв. АН Киргизской ССР, 1986, № 2, с. 17-18.
7. Кидибаев М.М., Альбаков А.А., Викторов Л.В., Кружалов А.В., Шульгин В.В. Заявка на предполагаемое изобретение "Неорганический сцинтиллятор". - Заявка № 310-02/22-2531 от 6.05.1986 г.

8. Alybakov A.A., Gubanova V.A., Kidibaev M.M. Anomalous change of absorption spectra of X-irradiated LiF:U and LiF:U,Na crystals when heating. - Physica status solidi (b), 1986, v. 135, No. 1, p. K49-K52.
9. Kidibaev M.M., Alybakov A.A., Gubanova V.A. Absorption bands of U⁴⁺ and U³⁺ ions in X-irradiated LiF:U,Me crystals. - Physica status solidi (b), 1986, v. 137, No. 1, p. K73-K75.
10. Альбаков А.А., Губанова В.А., Кидибаев М.М., Кемжебаев Б.К. Заявка на предполагаемое изобретение "Состав для получения дозиметрического молокристалла на основе фтористого лития". - Заявка № 4105866/25 (ИИ8745) от 30.07.1986 г.
11. Альбаков А.А., Кемжебаев Б.К., Кидибаев М.М., Набережнева Е.П. Сцинтилляционные свойства активированных кристаллов LiF и NaF. - Тезисы докладов IX Всесоюзной конференции "Состояние и перспективы разработки и применения сцинтилляторов и сцинтилляционных детекторов в ХХ пятилетке". - Харьков, 1986, с. 46.
12. Кидибаев М.М., Альбаков А.А., Буйко В.М. Спектры оптического поглощения облученных кристаллов LiF:U,Cu и их аномальное изменение при нагревании. - Изв. АН Кирг. ССР, 1986, № 5, с.
13. Кидибаев М.М., Альбаков А.А., Буйко В.М. Радиационные эффекты в кристаллах NaF:U,Cu и NaF:U,Ti - Тезисы докладов VI Всесоюзного совещания по радиационной физике и химии ионных кристаллов. - Рига, 1986, с.

Кидибаев М.М.
24-35-73
4.10.1986 г.

Отпечатано в 3 экз.